

Marek BRODZKI

Marian PASKO

Magdalena UMIŃSKA-BORTLICZEK

Janusz WALCZAK

ORTOGONALNY ROZKŁAD PRĄDU ODBIORNIKA DWUZACISKOWEGO
ZASILANEGO NAPIĘCIEM ODKSZTAŁCONYM, W PRZESTRZENI SOBOLEWA

Streszczenie. Niniejsza praca jest kontynuacją pracy [1]. W artykule przeprowadzono rozkład prądu odbiornika dwuzaciskowego zasilanego napięciem odkształconym na trzy wzajemnie ortogonalne, składniki względem iloczynu skalarnego w przestrzeni Sobolewa $W_{2,\alpha}^1(0;T)$ i podano ich interpretacje fizyczne. Zdefiniowano nowe pojęcia mocy związane z ortogonalnym rozkładem prądu odbiornika.

1. Wstęp

Artykuł niniejszy stanowi kontynuację pracy [1]. W pracy tej, w wyniku przeprowadzonej minimalizacji wskaźnika jakości prądu odbiornika, ujmującego równocześnie ocenę strat mocy czynnej na doprowadzeniu do odbiornika oraz ocenę odkształceń przebiegu prądu, przy ograniczeniu równościowym na moc czynną doprowadzoną do odbiornika, wyróżniono składową prądu odpowiedzialną za całkowity przesył mocy czynnej P . Składową tę nazwano aktywną i określono wzorem:

$$\begin{aligned}
 a_s^1 &= a_s^1 I_{a_0} + \sqrt{2} \operatorname{Re} \sum_{k=1}^{\infty} \Delta_k U_k G_k \exp(jk\omega(\cdot)) = \\
 &= a_s^1 I_{a_0} + \sqrt{2} \operatorname{Re} \sum_{k=1}^{\infty} U_k G_k \exp(jk\omega(\cdot)), \quad (1)
 \end{aligned}$$

gdzie:

$$U_k = \frac{\sqrt{2}}{T} \int_0^T u(t) \exp(-jk\omega t) dt, \quad k \geq 1, \quad (2)$$

$$\Delta_k = (\sqrt{\alpha_0 + \alpha_1(k\omega)^2 + \alpha_2(k\omega)^4 + \dots + \alpha_\alpha(k\omega)^{2\alpha}})^{-1}, \quad (3)$$

$$U_{s_k} = \frac{1}{\Delta_k} U_k = \nabla_k U_k, \quad (4)$$

$$G_{e_k} = \frac{P}{\nabla_k^2 \sum_{h=0}^{\infty} \left(\frac{|U_h|^2}{\nabla_h^2} \right)}, \quad (5)$$

$$\alpha_k \geq 0 \quad \text{dla} \quad k \geq 1; \quad \alpha_0 > 0$$

1 - maksymalny rząd pochodnej występującej w normie przestrzeni

$$W_{2,\alpha}^1(0;T),$$

$$a_s^1 \in W_{2,\alpha}^1(0;T).$$

Zagadnienie kompensowalności niepożądanego składnika prądu odbiornika równego $(i - a_s^1)$ stanowi motywację do poszukiwań innych składowych prądu odbiornika (oprócz składowej a_s^1) wzajemnie ortogonalnych.

2. Rozkład ortogonalny prądu odbiornika

Założmy podobnie jak w pracy [1], że funkcje prądu i oraz napięcia u odbiornika jednofazowego należą do przestrzeni $W_{2,\alpha}^1(0;T)$, odbiornik znajduje się w jednym stanie prądowo-napięciowym i jest opisany ciągiem admittancji:

$$Y_k = G_k + jB_k, \quad k \in (0, 1, 2, \dots), \quad B_0 = 0. \quad (6)$$

Zakładamy również, że moc czynna doprowadzona do odbiornika jest stała i równa wartości zadanej P . Całkowity prąd odbiornika określa wzór:

$$i = G_0 U_0 + \sqrt{2} \operatorname{Re} \sum_{k=1}^{\infty} (G_k + jB_k) U_k \exp(jk\omega \cdot). \quad (7)$$

Zdefiniujemy prąd:

$$i - a_s^1 = (G_0 - G_e) U_0 + \sqrt{2} \operatorname{Re} \sum_{k=1}^{\infty} (G_k + jB_k - G_e) U_k \exp(jk\omega \cdot). \quad (8)$$

Prąd przedstawiony wzorem (3) można przedstawić w postaci wzoru:

$$i = a_s^i = r_s^i + s_s^i \quad (9)$$

Prądy $r_s^i, s_s^i \in W_{2,\alpha}^1(0; \infty)$ określają wzory:

$$r_s^i = \sqrt{2} \operatorname{Re} \sum_{k=1}^{\infty} jB_k U_k \exp(jk\omega(\cdot)), \quad (10)$$

$$s_s^i = (G_0 - G_e)U_0 + \sqrt{2} \operatorname{Re} \sum_{k=1}^{\infty} (G_k - G_e)U_k \exp(jk\omega(\cdot)). \quad (11)$$

Prąd r_s^i nazywamy prądem reaktancyjnym. Prąd ten jest kompensowalny z dowolną dokładnością w sensie użytej normy za pomocą skończonej liczby elementów L, C .

Prąd s_s^i nazywamy prądem rozproszenia; można go interpretować jako prąd częstotliwościowego rozrzutu konduktancji odbiornika G_k wokół konduktancji G_e (por. wzór (5)).

W celu wykazania wzajemnej ortogonalności składników prądu odbiornika i (a_s^i, r_s^i, s_s^i) wykorzystujemy wzór (por. [1]):

$$(f|g)_w = \operatorname{Re} \sum_{k=0}^{\infty} \nabla_k^2 F_k G_k^* \quad (12)$$

Symbol G_k^* oznacza liczbę zespoloną sprzężoną z liczbą G_k . Wykorzystując powyższy wzór oraz wzory (1), (10), (11), mamy:

$$\begin{aligned} (a_s^i | r_s^i)_w &= \operatorname{Re} \sum_{k=1}^{\infty} \nabla_k^2 U_k G_{ek} (-jB_k) U_k^* = \\ &= \operatorname{Re} \sum_{k=1}^{\infty} \nabla_k^2 |U_k|^2 G_e (-jB_k) = 0, \end{aligned} \quad (13)$$

$$\begin{aligned}
 (a_s^i | s_s^i)_w &= \operatorname{Re} \sum_{k=0}^{\infty} \nabla_k^2 U_k G_{e_k} (G_k - G_{e_k}) U_k^* = \sum_{k=0}^{\infty} \nabla_k^2 |U_k|^2 G_{e_k} (G_k - G_{e_k}) = \\
 &= \sum_{k=0}^{\infty} \nabla_k^2 |U_k|^2 \frac{P}{\nabla_k^2 \sum_{h=0}^{\infty} \frac{|U_h|^2}{\nabla_h^2}} - \left(G_k - \frac{P}{\nabla_k^2 \sum_{h=0}^{\infty} \frac{|U_h|^2}{\nabla_h^2}} \right) = \frac{P}{\sum_{h=0}^{\infty} \frac{|U_h|^2}{\nabla_h^2}} (P - P) = 0
 \end{aligned} \tag{14}$$

$$\begin{aligned}
 (r_s^i | s_s^i)_w &= \operatorname{Re} \sum_{k=1}^{\infty} \nabla_k^2 (jB_k) U_k (G_k - G_{e_k}) U_k^* = \\
 &= \operatorname{Re} \sum_{k=1}^{\infty} \nabla_k^2 (jB_k) |U_k|^2 (G_k - G_{e_k}) = 0.
 \end{aligned} \tag{15}$$

Z powyższych wzorów wynika, że prądy a_s^i , r_s^i , s_s^i są wzajemnie ortogonalne. Porównując dla tego samego odbiornika opisanego tym samym ciągiem admitancji Y_k , $k \in \{0, 1, \dots\}$ oraz znajdującego się w tym samym stanie prądowo-napięciowym, składowe ortogonalne prądu wyróżnione drogą:

- minimalizacji funkcjonału $(\| \begin{matrix} \| \\ w \end{matrix} \|^2 [1], [2])$,
- minimalizacji funkcjonału $(\| \begin{matrix} \| \\ L_2 \end{matrix} \|^2 [3])$; należy stwierdzić, że: składowe a_s^i oraz s_s^i mają różną postać i transportują całkowitą moc czynną do odbiornika.

Składowa a_s^i odtwarza kształt napięcia zasilającego u , ze współczynnikiem proporcjonalności G , zatem stopień odkształcenia tego prądu (w odniesieniu do napięcia) jest taki sam.

Odształcenie składowej a_s^i od przebiegu sinusoidalnego w porównaniu ze składową s_s^i przy tym samym napięciu zasilającym jest znacznie mniejsze.

- Składowe reaktancyjne r_s^i , r_s^i mają taką samą postać, skąd wynika, że możliwości LC kompensacji w obydwu przypadkach są takie same,
- Składowe s_s^i , s_s^i posiadają różną postać.

Zakładając, że składowe s_s^i i s_s^i są przynajmniej częściowo kompensowane w szerszej klasie elementów (aktywne, parametryczne, nieliniowe), należy zauważyć, że prąd wypadkowy dopływający do odbiornika przy kompensacji prądu s_s^i będzie znacznie mniej odkształcony (mniejszy udział wyższych harmonicznych) niż przy kompensacji prądu s_s^i wyrażonego wzorem:

$$s_i = (G_o - G_e)U_o + \sqrt{2} \operatorname{Re} \sum_{k=1}^{\infty} (G_k - G_e) U_k \exp(jk\omega(\cdot)), \quad (16)$$

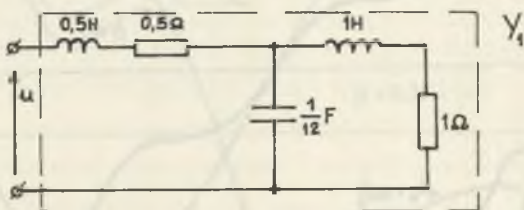
gdzie:

$$G_e = \frac{P}{(\|u\|_{L_2})^2}.$$

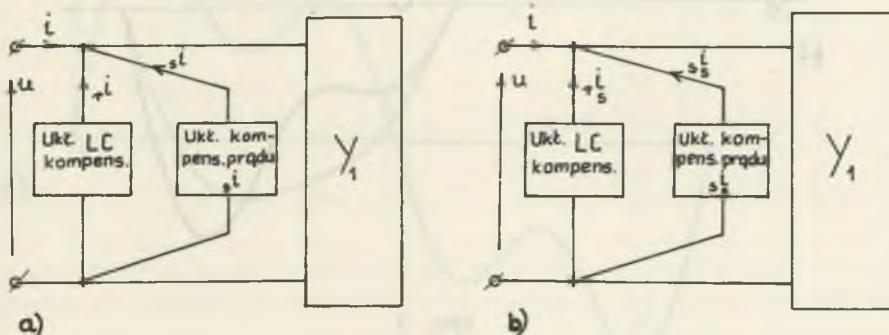
Stwierdzenie to ilustrujemy poniższym przykładem.

P.1. Do odbiornika Y (rys. 1) o danych dla lepszego porównania zaczerpniętych z pracy [3, s. 91] - dołączono układy kompensujące składową reaktancyjną r_i oraz s_i (w sensie minimalizacji funkcjonału $(\| \cdot \|_{L_2})^2$ (rys. 2a)) oraz:

do tego samego odbiornika Y (rys. 1) - dołączono układy kompensujące składową reaktancyjną r_s oraz składową s_s (w sensie minimalizacji funkcjonału $(\| \cdot \|_w)^2$ (rys. 2b)).



Rys. 1
Fig. 1



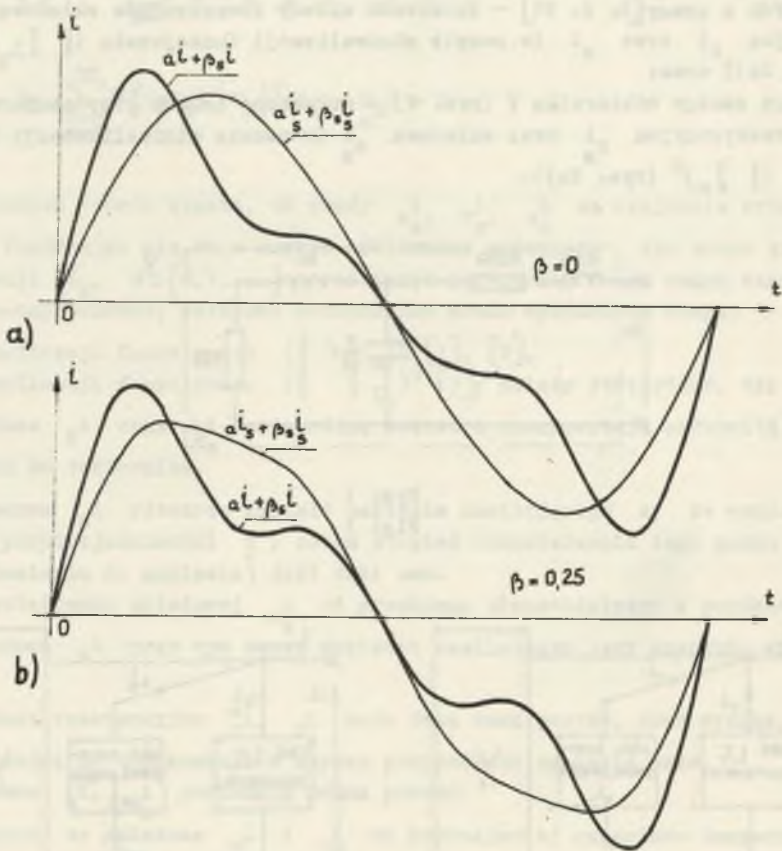
Rys. 2
Fig. 2

Obliczono składowe ortogonalnego rozkładu prądu i w obydwu przypadkach i stwierdzono, że: dla $\min (\| \cdot \|_{L_2})^2$:

$$s_i = 3,63 \sin (\cdot) + 1,815 \sin 2 (\cdot) + 1,09 \sin 3 (\cdot),$$

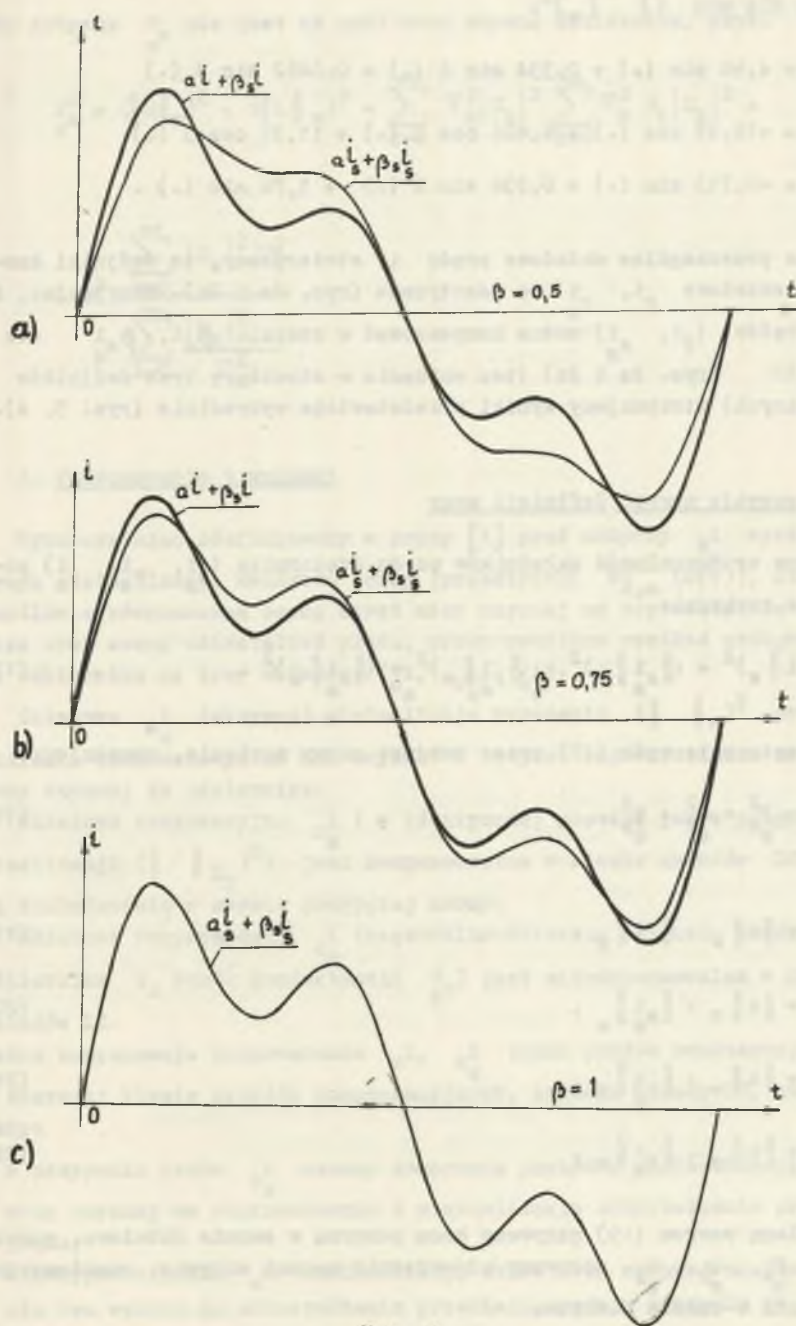
$$r_i = -10,49 \cos (\cdot) + 6,406 \cos (\cdot) + 11,37 \cos 4 (\cdot),$$

$$s_i = 0,256 \sin (\cdot) - 0,945 \sin 2 (\cdot) + 0,719 \sin 3 (\cdot),$$



Rys. 3

Fig. 3



Rys. 4

Fig. 4

natomiast dla $\min (\| \quad \|_w)^2$:

$$a_s^i = 4,68 \sin (.) + 0,334 \sin 2 (.) + 0,0462 \sin 3 (.)$$

$$r_s^i = -10,49 \cos (.) + 6,406 \cos 2 (.) + 11,37 \cos 3 (.)$$

$$s_s^i = -0,793 \sin (.) + 0,536 \sin 2 (.) + 1,76 \sin (.) .$$

Porównując poszczególne składowe prądu i , stwierdzamy, że dwójniki kompensujące składowe r_s^i , r_s^i są identyczne (rys. 2a i 2b). Przyjmując, że każdy z prądów (s_s^i , s_s^i) można kompensować w stopniu β_s^i , β_s^i dla $\beta \in <0; 1>$ (rys. 2a i 2b) (bez wnikania w strukturę tych dwójników kompensujących) otrzymujemy wyniki przedstawione wykreślnie (rys. 3, 4).

3. Propozycje nowych definicji mocy

Wykazana ortogonalność składników prądu odbiornika (a_s^i , r_s^i , s_s^i) powoduje, że zachodzi:

$$(\| i \|_w)^2 = (\| a_s^i \|_w)^2 + (\| r_s^i \|_w)^2 + (\| s_s^i \|_w)^2 . \quad (17)$$

Mnożąc obustronnie wzór (17) przez kwadrat normy napięcia, uzyskujemy:

$$S_{s^i}^2 = P_{s^i}^2 + Q_{s^r}^2 + Q_{s^s}^2 , \quad (18)$$

gdzie:

$$S_{s^i} = \| u \|_w \cdot \| i \|_w , \quad (19)$$

$$P_{s^i} = \| u \|_w \cdot \| a_s^i \|_w , \quad (20)$$

$$Q_{s^r} = \| u \|_w \cdot \| r_s^i \|_w , \quad (21)$$

$$Q_{s^s} = \| u \|_w \cdot \| s_s^i \|_w , \quad (22)$$

Moc określoną wzorem (19) nazywamy mocą pozorną w sensie Sobolewa, podobnie moce P_{s^i} , Q_{s^r} , Q_{s^s} nazywamy odpowiednio mocami aktywną, reaktancyjną, rozproszenia w sensie Sobolewa.

Moc aktywna P_{s^i} nie jest na ogół mocą czynną odbiornika, gdyż:

$$\begin{aligned}
 P_{s^i}^2 &= (\|u\|_w)^2 \cdot (\|i\|_w)^2 = \sum_{k=0}^{\infty} \nabla_k^2 |U_k|^2 \sum_{k=0}^{\infty} \nabla_k^2 G_k |U_k|^2 = \\
 &= P^2 \frac{\sum_{k=0}^{\infty} |U_k|^2 \nabla_k^2}{\sum_{k=0}^{\infty} \frac{|U_k|^2}{\nabla_k^2}}. \tag{23}
 \end{aligned}$$

4. Podsumowanie i wnioski

Wykorzystując zdefiniowany w pracy [1] prąd aktywny s^i wyróżniony drogą minimalizacji kwadratu normy (przestrzeni $W_{2,\alpha}^1(0;T)$), która to umożliwia równoczesną ocenę strat mocy czynnej na doprowadzeniu do odbiornika oraz ocenę odkształceń prądu, przeprowadzono rozkład ortogonalny prądu odbiornika na trzy składowe (s^i, r^i, s^i).

Składowa s^i (aktywna) minimalizuje wyrażenie $(\| \cdot \|_w)^2$ przy ograniczeniu równościowym na moc czynną P i jest odpowiedzialna za przesył mocy czynnej do odbiornika.

Składowa reaktancyjna r^i (o identycznej postaci jak w przypadku minimalizacji $(\| \cdot \|_{L_2})^2$) jest kompensowalna w klasie układów LC z dowolną dokładnością w sensie przyjętej normy.

Składowa rozproszenia s^i (częstotliwościowego rozrzutu konduktancji odbiornika G_k wokół konduktancji G_k) jest niekompensowalna w klasie układów LC.

Pełna kompensacja rozproszenia s^i, s^i (oraz prądów reaktancyjnych) w szerszej klasie układów kompensacyjnych, aniżeli układy LC, umożliwiłaby:

- w przypadku prądu s^i zadany kompromis pomiędzy minimalizacją strat mocy czynnej na doprowadzeniu i minimalizacją odkształcenia przebiegu prądu,
- w przypadku prądu s^i minimalizację strat mocy czynnej na doprowadzeniu bez wpływu na odkształcenie przebiegu prądu w stosunku do napięcia zasilającego (por. wykresy rys. 3, 4).

LITERATURA

- [1] Brodzki M., Pasko M., Umińska-Bortliczek M., Walczak J.: Propozycja nowego wskaźnika jakości energii elektrycznej dla układów dwuzaciskowych z przebiegami odkształconymi. Materiały XI - SPRETO Gliwice-Wiśła, 1990 oraz Z.N. Politechniki Śląskiej, Elektryka z. 113. Gliwice 1991.
- [2] Brodzki M., Pasko M., Umińska-Bortliczek M., Walczak J.: Analiza właściwości energetycznych układów dwuzaciskowych o przebiegach odkształconych z uwagą na właściwy wybór wskaźników jakości. Opracowanie SPBR 5.7, Gliwice 1987.
- [3] Czarniecki L.: Interpretacja, identyfikacja i modyfikacja właściwości energetycznych obwodów jednofazowych z przebiegami odkształconymi. Z.N. Politechniki Śląskiej Elektryka z. 91. Gliwice 1984.
- [4] Czarniecki L.: Power Theories of Periodic Nonsinusoidal Systems. Rozprawy Elektrotechniczne z. 3-4 1985.

Recenzent: doc. dr hab. inż. Kazimierz Mikożajuk

Wpłynęło do redakcji dnia 30 maja 1988 r.

ОРТОГОНАЛЬНОЕ - В НЕКОТОРОМ ПРОСТРАНСТВЕ СОБОЛЕВА - РАЗЛОЖЕНИЕ ТОКА ПРИЕМНИКА В ВИДЕ ДВУХПОЛЮСНИКА К КОТОРОМУ ПРИВОДИТСЯ НЕСИНУСОИДАЛЬНОЕ НАПРЯЖЕНИЕ

Р е з ю м е

В работе, в соответствии с работой [1], дается ортогональное разложение несинусоидального тока приемника в виде двухполюсника. Питание этого двухполюсника - несинусоидальное напряжение. Разложение тока по взаимно ортогональным слагаемым дается в смысле свойств скалярного произведения в пространстве Соболева $W_{2,p}^1(0;T)$. Дается также физическая интерпретация этих слагаемых несинусоидального тока приемника. На базе ортогонального разложения несинусоидального тока выводятся новые формулы и определения мощности для однофазных электрических систем.

ORTHOGONAL DECOMPOSITION OF THE CURRENT OF THE TWO-TERMINAL RECEIVER SUPPLIED WITH NONSINUSOIDAL PERIODIC VOLTAGE IN THE SOBOLEV'S SPACE

S u m m a r y

This paper is the continuation of [1]. The decomposition of the current of the two-terminal receiver supplied with nonsinusoidal periodic voltage, into three orthogonal components in relation to scalar product

in the Sobolev's space $W_{2,\alpha}^1(0;T)$ has been done and their physical interpretations have been given.

The new notions of power connected with the orthogonal decomposition have been defined.